

УДК 534.2 : 532.135

Анатолий СТУЛОВ *

**РАСПРОСТРАНЕНИЕ ПРОДОЛЬНЫХ ВОЛН ДЕФОРМАЦИИ
В ДИСКРЕТНО-СЛОИСТЫХ ЛИНЕЙНЫХ СРЕДАХ С ПАМЯТЬЮ**

(Представил Ю. Энгельбрехт)

Настоящая статья завершает цикл работ, проведенных в Институте кибернетики АН Эстонии в области распространения одномерных продольных волн деформации в линейных слоистых наследственных средах. Основные результаты по данной тематике были опубликованы в [1–5]. В [1] — первой работе в этой области — была поставлена задача о распространении волны деформации в наследственной среде и были введены модифицированные ядра наследственности. Затем в [2] полученные результаты были обобщены на дискретно-слоистую наследственную среду. Некоторые частные случаи распространения и отражения волн были рассмотрены в [3–5]. В [3] и [4] были предложены методы для определения наследственных параметров среды по отраженному акустическому сигналу, а в [5] изучена эволюция формы нестационарной акустической волны в наследственной среде со слабо-сингулярным ядром.

Однако вопрос о распространении прямой волны деформации в наследственной среде в этих работах исследован недостаточно. Так, если в [2–4] были представлены точные формулы, описывающие форму отраженной волны для случаев различных наследственных слоистых сред и для различных краевых условий и были предложены методы для определения наследственных свойств среды по измеряемым искажениям отраженной волны, то прямая волна в этих работах вообще не рассматривалась. В настоящей статье приводится постановка задачи и на базе самого общего решения, полученного в [2], исследуется распространение прямой волны в наследственной среде с так называемой E -памятью. Получены точные решения для различных видов краевых воздействий, что позволяет следить за искажением формы акустической волны, распространяющейся в среде с памятью и несущей полезную информацию о наследственных свойствах среды.

1. Система интегро-дифференциальных уравнений первого порядка, описывающая распространение волн в линейной наследственной (вязкоупругой) среде в положительном и отрицательном направлении оси x , была получена в работе [2]. В настоящей статье эти уравнения используются для описания процесса распространения одномерных нестационарных продольных волн деформации в слоисто-однородных линейных наследственных средах.

Пусть одномерный импульс, который зависит от лагранжевой координаты x и от времени t , распространяется в среде, состоящей из области $0 \leq x \leq L_A$, занятой однородной средой A и слоя $L_A < x < L_B$, являющимся однородной средой B и полупространства $x \geq L_B$ — среды C и при этом направление распространения волны перпендикулярно плоскостям раздела сред. Величины, относящиеся к средам A , B и C , будем различать соответственно с помощью индексов $j \in A, B, C$.

* Eesti Teaduste Akadeemia Küberneetika Instituut (Институт кибернетики Академии наук Эстонии). 200108 Tallinn, Akadeemia tee, 21. Estonia.

Примем обозначения: $U_j(x, t)$ — продольные перемещения, $\sigma_j(x, t)$ — продольные напряжения, ρ_j — плотности и E_j — «мгновенные модули упругости» сред A , B и C . Пусть штрих обозначает производную по x , а точка — производную по t . Тогда для описания процесса распространения одномерных импульсов в наследственных средах A , B и C имеем уравнения [2]:

$$c_j U'_{j1}(x, t) + U_{j1}(x, t) + \frac{1}{2} K_{1j}(t) * U_{j1}(x, t) = 0, \quad (1)$$

$$c_j U'_{j2}(x, t) - U_{j2}(x, t) - \frac{1}{2} K_{1j}(t) * U_{j2}(x, t) = 0, \quad (2)$$

где

$$c_j^2 = E_j / \rho_j, \quad j \in A, B, C. \quad (3)$$

Здесь второй индекс, принимающий значения 1 и 2, введен таким образом, что величины $U_{j1}(x, t)$ обозначают совокупность импульсов, многократно отраженных и преломленных в слоистой среде, распространяющихся в положительном направлении оси x , а величины $U_{j2}(x, t)$ — совокупность таких же импульсов, распространяющихся в противоположном направлении.

В уравнениях (1) и (2) $K_{1j}(t)$ являются введенными в работе [1] модифицированными ядрами ползучести сред A , B и C , связанными с классическим ядром ползучести уравнением

$$K_j(t) = K_{1j}(t) + \frac{1}{4} K_{1j}(t) * K_{1j}(t), \quad j \in A, B, C. \quad (4)$$

В уравнениях (1), (2) и (4) для краткой записи интеграла свертки использовано обозначение

$$F(t) * G(t) \equiv \int_0^t F(t - \tau) G(\tau) d\tau. \quad (5)$$

Примем начальные условия в виде

$$U_{j1}(x, 0) = U_{j2}(x, 0) = 0, \quad j \in A, B, C, \quad (6)$$

$$U_{j2}(x, 0) = U_{j1}(x, 0) = 0, \quad j \in A, B, C. \quad (7)$$

В точке $x = x_0$ может быть задано одно из следующих краевых условий, определяющее волну, распространяющуюся в положительном направлении оси x :

$$U'_{A1}(x_0, t) = \Phi(t), \quad (8)$$

$$U_{A1}(x_0, t) = -c_A \Phi(t), \quad (9)$$

$$\sigma_{A1}(x_0, t) = E_A \Phi(t). \quad (10)$$

На границах сред в точках $x = L_A$ и $x = L_B$ зададим обычные контактные условия, определяющие равенство нормальных перемещений и напряжений.

2. Для вычисления импульсов $U_{A1}(x, t)$, $U_{A2}(x, t)$, $U_{B1}(x, t)$, $U_{B2}(x, t)$, $U_{C1}(x, t)$, возникающих в трехслойной среде, используем интегральное преобразование Лапласа

$$F^L(x, s) \leftrightarrow F(x, t), \quad (11)$$

где $F^L(x, s)$ — изображение оригинала $F(x, t)$. Выполняя преобразование уравнений (1) и (2) с учетом вышеуказанных краевых и контактных условий, получим следующие формальные решения

$$U_{A1}^L(x, s) = P_m^L(s) \exp[-\lambda_A(s)x], \quad (12)$$

$$U_{A2}^L(x, s) = P_m^L(s) V_{AB}^L(s) \exp[\lambda_A(s)x], \quad (13)$$

$$U_{B1}^L(x, s) = P_m^L(s) W_{AB}^L(s) \exp[-\lambda_B(s)x], \quad (14)$$

$$U_{B2}^L(x, s) = P_m^L(s) V_{BC}^L(s) \exp[\lambda_B(s)x], \quad (15)$$

$$U_{C1}^L(x, s) = P_m^L(s) W_{BC}^L(s) \exp[-\lambda_C(s)x]. \quad (16)$$

Здесь три функции $P_m^L(s)$ ($m=1, 2, 3$) соответствуют трем различным краевым условиям (8)–(10) следующим образом:
в случае краевого условия (8)

$$P_1^L(s) = -\lambda_A^{-1}(s) \Phi^L(s) \exp[\lambda_A(s)x_0], \quad (17)$$

в случае краевого условия (9)

$$P_2^L(s) = -c_A s^{-1} \Phi^L(s) \exp[\lambda_A(s)x_0], \quad (18)$$

в случае краевого условия (10)

$$P_3^L(s) = -(c_A/s)^2 \lambda_A(s) \Phi^L(s) \exp[\lambda_A(s)x_0], \quad (19)$$

причем

$$\lambda_j(s) = (s/c_j) \left[1 + \frac{1}{2} K_{1j}^L(s) \right], \quad j \in A, B, C. \quad (20)$$

Коэффициенты $V_{AB}^L(s)$, $V_{BC}^L(s)$, $W_{AB}^L(s)$, $W_{BC}^L(s)$ определяются из системы алгебраических уравнений, соответствующих преобразованным краевым условиям, и имеют вид:

$$V_{AB}^L(s) = Q_1(s) Q_0^{-1}(s) \exp[-2\lambda_A(s)L_A],$$

$$V_{BC}^L(s) = 2D_{AB}(s) Q_2(s) Q_0^{-1}(s) \exp\{-L_A[\lambda_A(s) + \lambda_B(s)]\},$$

$$W_{AB}^L(s) = 2D_{AB}(s) Q_3(s) Q_0^{-1}(s) \exp\{L_A[\lambda_B(s) - \lambda_A(s)]\},$$

$$W_{BC}^L(s) = 4D_{AC}(s) Q_0^{-1}(s) \exp[L_B \lambda_C(s) - L_A \lambda_A(s)],$$

где

$$Q_0(s) = [D_{AB}(s) - 1] Q_2(s) + [D_{AB}(s) + 1] Q_3(s),$$

$$Q_1(s) = [D_{AB}(s) + 1] Q_2(s) + [D_{AB}(s) - 1] Q_3(s),$$

$$Q_2(s) = [D_{BC}(s) - 1] \exp[-\lambda_B(s)(L_B - L_A)],$$

$$Q_3(s) = [D_{BC}(s) + 1] \exp[\lambda_B(s)(L_B - L_A)],$$

$$D_{jk}(s) = Z_{jk} N_k^L(s) / N_j^L(s), \quad j, k \in A, B, C,$$

$$Z_{jk}(s) = (Q_j c_j) / (Q_k c_k), \quad j, k \in A, B, C,$$

$$N_j^L(s) = 1 + \frac{1}{2} K_{1j}(s), \quad j \in A, B, C.$$

Используя формулы (17)–(19), легко получить из уравнений (12)–(16) следующие формальные решения (здесь третий индекс $m=1, 2, 3$ относится к краевым условиям (8), (9) и (10) соответственно):

$$U'_{jkm}(x, t) = (-1)^{h-1} c_A c_j^{-1} \Phi(t) * Q_{jkm}(x, t), \quad (21)$$

$$U_{jkm}(x, t) = -c_A \Phi(t) * P_{jkm}(x, t), \quad (22)$$

$$\sigma_{jkm}(x, t) = (-1)^{h-1} E_j c_A c_j^{-1} \Phi(t) * G_{jkm}(x, t), \quad (23)$$

где $Q_{jkm}(x, t)$, $P_{jkm}(x, t)$, $G_{jkm}(x, t)$ — функции, подлежащие вычислению по их изображениям

$$Q_{jkm}^L(x, s) = N_j^L(s) P_{jkm}^L(x, s), \quad j \in A, B, C, \quad (24)$$

$$G_{jkm}^L(x, s) = [N_j^L(s)]^{-1} P_{jkm}^L(x, s), \quad j \in A, B, C, \quad (25)$$

$$P_{jkm}^L(x, s) = [N_j^L(s)]^{m-2} \Omega_{jh}^L(x, s) \exp[\lambda_A(s)x_0], \quad (26)$$

где

$$k=1, 2; \quad m=1, 2, 3,$$

$$\Omega_{A1}^L(x, s) = \exp[-\lambda_A(s)x], \quad (27)$$

$$\Omega_{A2}^L(x, s) = V_{AB}^L(s) \exp[\lambda_A(s)x], \quad (28)$$

$$\Omega_{B1}^L(x, s) = W_{AB}^L(s) \exp[-\lambda_B(s)x], \quad (29)$$

$$\Omega_{B2}^L(x, s) = V_{BC}^L(s) \exp[\lambda_B(s)x], \quad (30)$$

$$\Omega_{C1}^L(x, s) = W_{BC}^L(s) \exp[-\lambda_C(s)x]. \quad (31)$$

3. Используем полученные формулы для описания процесса распространения импульса в наследственной среде A . Пусть в точке $x_0=0$ среды A генерирован импульс $U_{A1}(0, t) = \Phi(t)$ (краевое условие (9)), который распространяется в направлении роста x . При этом из формул (21—23) будем рассматривать только решение (22), для которого введем обозначение

$$U_{A12}(x, t) = -c_A F_{A1}(x, t). \quad (32)$$

Тогда точное решение, описывающее распространяющийся импульс, строится при помощи формул (22), (26), (27) и имеет вид

$$F_{A1}(x, t) = \Phi(t) * P_{A12}(x, t), \quad (33)$$

где оригинал $P_{A12}(x, t)$ находится по изображению

$$P_{A12}^L(x, s) = \exp[-\lambda_A(s)x]. \quad (34)$$

Чтобы найти оригинал функции $P_{A12}^L(x, s)$ необходимо выбрать модель наследственной среды A . Для этого используем модель наследственной среды с E -памятью, введенную У. К. Нигулом в работе [1].

Модифицированное ядро ползучести такой среды определяется выражением

$$K_{1A}(t) = 2M_A \exp(-t/\tau_{1A}), \quad (35)$$

где

$$M_A = \tau_{2A}^{-1} - \tau_{1A}^{-1}, \quad (36)$$

и τ_{1A} , τ_{2A} — наследственные параметры среды, удовлетворяющие условию

$$0 < \tau_{2A} < \tau_{1A} < \infty. \quad (37)$$

Введем параметр $\varepsilon_A > 0$ так, чтобы

$$2M_A = \varepsilon_A / \tau_{1A}. \quad (38)$$

Тогда

$$K_{1A}(t) = (\varepsilon_A / \tau_{1A}) \exp(-t/\tau_{1A}). \quad (39)$$

Если среда A является наследственной средой с E -памятью, то применяя преобразование Лапласа к (39), найдем

$$K_{1A}^L(s) = 2A_A(s), \quad (40)$$

$$\lambda_A(s) = s[1 + A_A(s)]/c_A, \quad (41)$$

где

$$A_A(s) = \varepsilon_A / 2(1 + s\tau_{1A}). \quad (42)$$

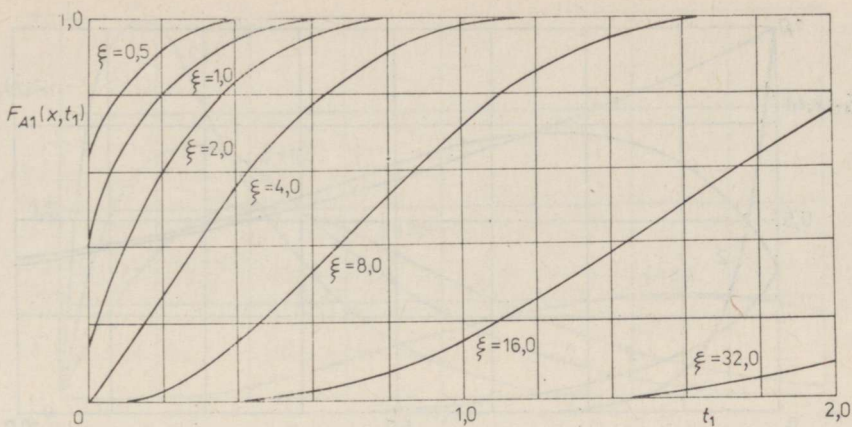


Рис. 1. Формы волны для различных безразмерных расстояний ξ . Краевое воздействие $\Phi(t) = H(t)$.

Представим $\lambda_A(s)$ в виде

$$\lambda_A(s) = \frac{s}{c_A} + \frac{\varepsilon_A}{2c_A\tau_{1A}} - \frac{A_A(s)}{c_A\tau_{1A}}. \quad (43)$$

Тогда для нахождения оригинала изображения (43) заметим, что [6]

$$s^{-1} \exp(\xi/s) \rightarrow I_0(2\sqrt{\xi t}),$$

где $I_0(x)$ — модифицированная функция Бесселя первого рода нулевого порядка. Применяя теорему о сдвиге аргумента у изображения, найдем

$$P_{A12}(x, t_1) = e^{-\xi} \left[\delta(t_1) + H(t_1) e^{-t_1} \frac{d}{dt_1} I_0(2\sqrt{\xi t_1}) \right], \quad (44)$$

где использованы безразмерные переменные

$$t_1 = (t - x/c_A)/\tau_{1A}, \quad (45)$$

$$\xi = \varepsilon_A x / 2c_A\tau_{1A}, \quad (46)$$

а $\delta(x)$ и $H(x)$ — функции Дирака и Хевисайда соответственно.

4. Рассмотрим случай краевого воздействия в виде функции Хевисайда

$$\Phi(t) = H(t). \quad (47)$$

Свертывая (44) и (47), для краевого воздействия (47) получим формулу

$$F_{A1}(x, t_1) = e^{-\xi} \left[e^{-t_1} I_0(2\sqrt{\xi t_1}) + \int_0^{t_1} e^{-\tau} I_0(2\sqrt{\xi \tau}) d\tau \right]. \quad (48)$$

На рис. 1 представлены результаты вычисления функции $F_{A1}(x, t_1)$ по формуле (48) в безразмерных переменных, заданных формулами (45), (46) при различных значениях параметра ξ . На фронте $t_1 = 0$ затухание разрыва в волне носит экспоненциальный характер. С увеличением параметра ξ наблюдается затягивание роста амплитуды волны в сторону больших t_1 , что хорошо совпадает с результатами, полученными в работе [7]. Все кривые стремятся к асимптотическому значению $F_{A1}(x, t_1) = 1$, что можно получить, устремив верхний предел интегрирования в (48) t_1 к бесконечности. Используя значение интеграла [8]

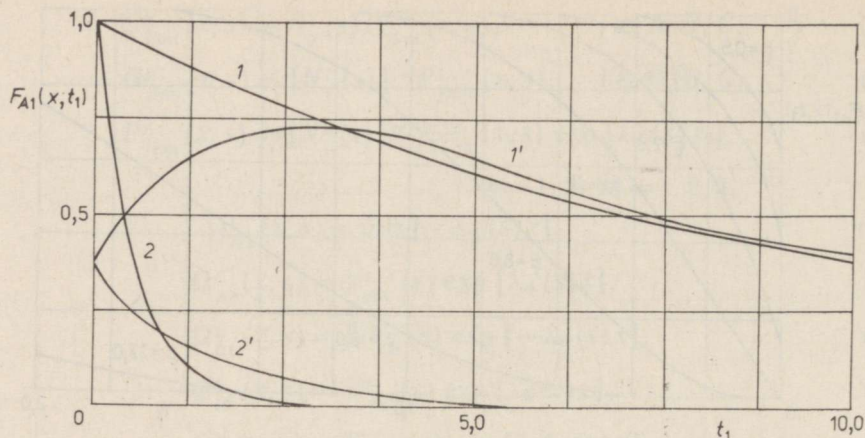


Рис. 2. Форма волны в точке $\xi=1$ для различных значений параметра α краевого воздействия $\Phi(t)=\exp(-at)$.

$$\int_0^{\infty} \exp(-ax) I_0(2\sqrt{\xi x}) dx = \alpha^{-1} \exp(\xi/a), \quad (49)$$

получим при $t_1 = \infty$

$$F_{A1}(x, t_1) = e^{-\xi} [e^{-t_1} I_0(2\sqrt{\xi t_1}) + e^{\xi}] = 1.$$

5. Рассмотрим другой частный случай краевого воздействия в виде экспоненты

$$\Phi(t) = \exp(-at). \quad (50)$$

Свертывая (44) и (50), найдем

$$F_{A1}(x, t_1) = e^{-\xi} [e^{-t_1} I_0(2\sqrt{\xi t_1}) + \beta e^{-\alpha t_1} \int_0^{t_1} e^{-\beta \tau} I_0(2\sqrt{\xi \tau}) d\tau], \quad (51)$$

где $\beta = 1 - \alpha$.

На рис. 2 представлены результаты вычисления формы волны по формуле (51) для безразмерного расстояния $\xi=1$. Кривые 1 и 2 показывают форму краевого воздействия для $\alpha=0, 1$ и $\alpha=2, 0$ соответственно, а кривые со штрихами — форму волны для тех же величин параметра α в точке $\xi=1$. Хотя значение амплитуды волны на фронте с ростом ξ падает экспоненциально, видно, что при соответствующем выборе параметра α монотонное краевое воздействие за фронтом распространяющейся волны может и возрасть (кривая 1').

6. В случае краевого воздействия в виде

$$\Phi(\mu) = \mu \exp(1 - \mu), \quad \mu = t/\tau_{1A}, \quad (52)$$

из (44) и (52) получим

$$F_{1A}(x, t_1) = \exp(1 - \xi - t_1) \sqrt{\frac{t_1}{\xi}} I_1(2\sqrt{\xi t_1}). \quad (53)$$

Это единственное решение, которое описывает форму распространяющейся волны в среде с E -памятью в явном виде через табличную модифицированную функцию Бесселя первого рода первого порядка и не требует вычисления интеграла. На рис. 3 представлена эволюция формы волны, вызванной краевым условием (52) для различных безразмерных переменных расстояний ξ . Очевидно, что колоколообразность импульса с ростом ξ сохраняется, но его максимальная амплитуда при этом быстро уменьшается.

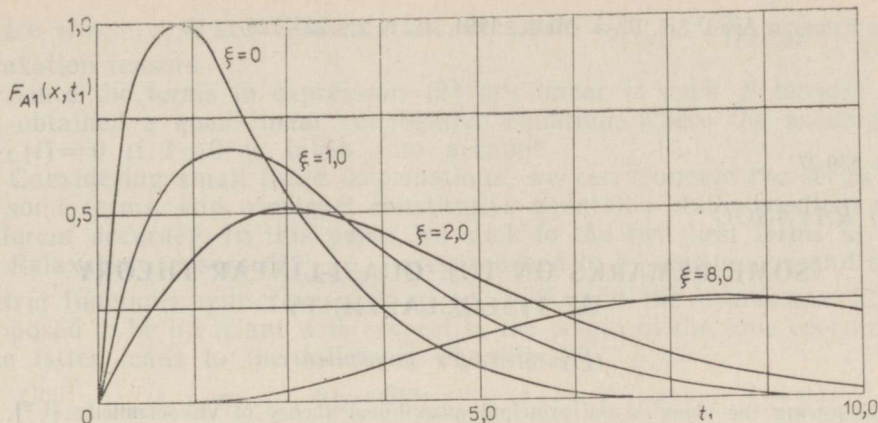


Рис. 3. Форма волны для различных безразмерных расстояний ξ . Краевое воздействие $\Phi(t) = t \exp(1-t)$.

Приведенные формулы, описывающие искажение прямой волны при распространении ее в наследственной среде, могут быть использованы для определения наследственных параметров среды также, как это было сделано в [3, 4] для отраженной волны. Это, например, можно сделать по измерениям величины максимальной амплитуды и ее положению при распространении колоколообразного импульса.

ЛИТЕРАТУРА

1. Nigul, U. 1983. Preprint Acad. Sci. of the Estonian SSR. Tallinn.
2. Нигул У. К., Стулов А. С. 1985. Препринт РИСО АН ЭССР. Таллинн.
3. Стулов А. С. 1986. Изв. ЭССР. Физ. Мат., 35, № 3, 271—278.
4. Стулов А. 1985. Изв. ЭССР. Физ. Мат., 34, № 2, 178—181.
5. Ицкович М. А., Нигул У. К. 1984. Изв. АН СССР. МТТ, вып. 1, 72—77.
6. Деч Г. 1971. Руководство к практическому применению преобразования Лапласа и z-преобразования. Москва.
7. Равасоо А. А., Энгельбрехт Ю. К. 1981. Переходные процессы деформации в вязкоупругой среде при импульсных воздействиях. Прикладные проблемы прочности и пластичности. Горький, 3—10.
8. Градштейн И. С., Рыжик И. М. 1963. Таблицы интегралов, сумм, рядов и произведений. Москва.

Поступила в редакцию
4/XII 1990

Anatoli STULOV

PIKIDEFORMATSIOONILAINETE LEVI LINEARSETES KIHILISTES PÄRILIKES KESKKONDADES

Lähtudes lineaarsetest esimest järku integro-diferentsiaalvõrranditest, mis kirjeldavad vastassuundades levivaid laineid, ja kasutades Laplace'i integraalteisendust, on tuletatud formaalne lahend, mis kirjeldab läbivat ja tagasipeegeldunud lainet kahe- ja kolmekihilises pärilikus keskkonnas.

Anatoli STULOV

PROPAGATION OF LONGITUDINAL DEFORMATION WAVES IN LAYERED LINEAR HEREDITARY MEDIA

Using the Laplace integral transform, the formal solutions of the first-order integro-differential equation that describes the waves moving in the opposite directions in a linear hereditary layered medium, are obtained.